

Содержание и природа углеводородов во взвеси поверхностных вод и донных осадках Керченского пролива

И. А. Немировская*, П. О. Завьялов*,

Б. В. Коновалов*

Приведены результаты изучения содержания и состава углеводородов во взвеси поверхностных вод и в поверхностном слое донных осадков в Керченском проливе в июле 2020 г. в сравнении с 2019 г. и с более ранними исследованиями в других районах Черного моря. Несмотря на высокие концентрации алифатических углеводородов (особенно в водах самого пролива — в среднем 78 мкг/л и в грубоозернистых осадках — 47 мкг/г), состав алканов не соответствовал нефтяному из-за быстрой трансформации нефтяных алифатических углеводородов. Использование факторного анализа показало, что основной источник загрязнения — пирогенный (от транспорта), в меньшей степени — нефтяной.

Ключевые слова: Керченский пролив, нефтяное загрязнение, алифатические и полициклические ароматические углеводороды, схема течений.

DOI: 10.52002/0130-2906-2022-6-66-78

Введение

Многолетний спутниковый мониторинг показал, что скопления нефтяных пленок в российском секторе наблюдаются в Керченском проливе и припортовых акваториях Новороссийска и Туапсе [3, 7], где расположены наиболее крупные нефтяные терминалы. Керченский пролив — это коридор, соединяющий Азовское море с Черным. Здесь расположены комплекс по перекачке нефти, якорные стоянки судов — все это создает потенциальную угрозу разливов нефти, которые уже происходили в этом районе [9]. С учетом удельной аварийной потери (30 т на 1 млн. т перевозимых нефтепродуктов [14]) суммарный объем аварийных разливов в российском секторе может составлять около 7500—9000 т/год [1, 14].

Необходимость дноуглубительных работ, которые сопровождаются дампингом изъятого грунта, гидротехническое строительство, высокая плотность населения, а также поступление углеводородов (УВ) из грязевых вулканов в акватории Керченского пролива также оказывают влияние на его экосистему [2, 8, 13, 19]. Поэтому особое внимание уделяется исследованию загрязненности этого района моря нефтяными углеводородами ([5, 11, 17] и др.).

* Институт океанологии им. П. П. Ширшова Российской академии наук; e-mail: nemir44@mail.ru (Немировская Инна Абрамовна).

С целью изучения уровней загрязнения и происхождения УВ (алифатических — АУВ и полициклических ароматических — ПАУ) в июле 2020 г. проведено изучение их содержания во взвеси поверхностных вод и в донных осадках в районе Керченского пролива в сравнении с данными, полученными в этом районе в марте и сентябре 2019 г., а также в разные годы в других районах Черного моря.

Из-за многокомпонентности нефти суммарный анализ УВ может представлять интерес лишь на начальных стадиях исследования загрязнений. Тем не менее в большинстве отечественных работ для диагностики нефтяного загрязнения используют оценку АУВ ([5, 11, 12, 17] и др.), которые относятся к макрокомпонентам в нефти. Однако значительный природный фон АУВ и изменчивость их содержания и состава под влиянием различных процессов в море делают такую оценку нефтяного загрязнения во многом непрезентативной [10]. Поэтому все чаще при исследовании нефтяного загрязнения определяют либо два основных углеводородных класса — АУВ и ПАУ [10, 20, 21, 29, 32, 34, 34, 35], либо только ПАУ, которые относятся к стойким органическим загрязняющим веществам ([22, 25, 26, 31] и др.).

Проблема применения маркеров в составе УВ сводится к выявлению основных их источников: петрогенных, пирогенных и биогенных [12, 18, 21].

Материалы и методика исследования

Пробы воды отбирали пластиковыми батометрами на гидрологических станциях. Взвесь отфильтровывали под давлением 0,2 атм на стекловолокнистые фильтры Whatman GF/F диаметром 47 мм, высушивали силикагелем и хранили в морозильнике. Анализ состава взвеси, осажденной на фильтрах, проводили в условиях стационарной лаборатории.

Поверхностный слой донных осадков отбирали дночерпательем Ван-Вина и замораживали при -18°C . Если были видны поверхностные слои разного цвета, то отбирали верхний рыжий окисленный слой и восстановленный серый слой. Для анализа в стационарной лаборатории пробы размораживали, сушили при температуре 50°C , определяя влажность осадков.

Фильтры во влажном состоянии фотометрировали на спектрофотометре СФ-14 ЛОМО. Полученные спектры поглощения света в видимой области использовали для расчета общей концентрации взвеси ($C_{\text{вв}}$), ее минеральной ($C_{\text{вмв}}$) и органической ($C_{\text{вов}}$) фракций в соответствии с методикой [6].

Из проб взвесей и высушенных при 50°C проб донных осадков (фракция 0,25—0,5 мм) на ультразвуковой бане “Сапфир” метиленхлоридом экстрагировали суммарную фракцию (липиды). Углеводороды выделяли с помощью колоночной хроматографии на силикагеле: АУВ — гексаном, а ПАУ — смесью гексана с бензолом (3 : 2) [33]. Концентрацию липидов (до колоночной хроматографии на силикагеле) и АУВ (после колоночной хроматографии) определяли ИК-методом на спектрофотометре IRAffinity-1 (“Shimadzu”) по полосе 2930 cm^{-1} . В качестве стандарта использовали смесь (по объему): 37,5% изооктана, 37,5% гексадекана и 25% бензола (ГСО 7248-96, разработчик АОЗТ “ЭкроС”). Чувствительность метода —

4 мкг/мл экстракта [10]. Этот метод используется в качестве арбитражного при анализе нефтяных углеводородов [5].

Суммарную концентрацию ПАУ определяли флуоресцентным методом на приборе Trilogy 7200-000 фирмы “Turner”. В качестве стандарта использовали нефтепродукт в гексане (ГСО 7950). Этот метод рекомендован МОК/ВМО для определения нефтепродуктов в морских водах и донных осадках [5].

Органический углерод (C_{org}) в донных осадках определяли методом сухого сожжения на анализаторе АН-7560 (Россия). Для пересчета концентраций АУВ в осадках в концентрацию C_{org} использовали коэффициент 0,86 [10].

Состав алканов определяли методом газовой хроматографии на приборе “Кристалл-Люкс 4000-М” (Россия) с пламенно-ионизационным детектором, капиллярной колонкой 30 м × 0,22 мм (фирма “Supelco”) с фазой: 5% фенила и 95% метилполиксилина, при программировании температуры от 60 до 300°C, со скоростью 8 С/мин, газ-носитель — гелий (скорость прохождения газа 1,5 мл/мин).

Содержание и состав ПАУ определяли методом высокоэффективной жидкостной хроматографии на хроматографе LC-20 Prominence (“Shimadzu”) с колонкой Envirosep PP, при температуре термостата колонки 40 С, с флуоресцентным детектором RF-20A в градиентном режиме (от 50% объемной доли ацетонитрила в воде до 90%). Скорость потока элюента — 1 см³/мин. Расчет проводили с помощью программного обеспечения LC Solution. Калибровали прибор при помощи индивидуальных ПАУ (фирма “Supelco”) и их смесей. В результате были определены индивидуальные полиарены, рекомендованные EPA (Environmental Pollution Agency) [25]: нафталин (Н), 1-метилнафталин (Н1), 2-метилнафталин (Н-2), аценафтен (АЦНФ), флуорен (ФЛР), фенантрен (Ф), антрацен (АН), флуорантен (ФЛ), пирен (П), бенз(а)антрацен (ВаА), хризен (ХР), бенз(е)пирен (БеП), бенз(а)пирен (БаП), дibenз(a,h)антраца (ДБА), бенз(g,h,i)перилен (БПЛ), индено[1,2,3-c,d]пирен (ИНП), бенз(б)флуорантен (БбФ).

Результаты и их обсуждение

В июле 2020 г. в Керченском проливе установлена максимальная концентрация АУВ — 254 мкг/л (станция 24) (рис. 1а). На станциях 1, 5 их средние концентрации значительно ниже, 67 и 47 мкг/л соответственно. В апреле 2019 г. они изменились в интервале 110—186 мкг/л, с максимумом у м. Такыл (табл. 1), а в Феодосийском заливе — 70—110 мкг/л. К сентябрю 2019 г. произошло некоторое уменьшение их концентраций (55—138 мкг/л). Однако даже самые низкие значения превышали ПДК для нефтяных углеводородов — 50 мкг/л.

В Керченском проливе также повышена доля АУВ в составе липидов, в среднем 72% по сравнению с 38% в центральной части моря. Последнее может косвенно указывать на присутствие нефтяных загрязняющих веществ, так как при их поступлении повышается доля УВ в составе липидов [10]. Во взвеси поверхностных вод наиболее высокие концентрации АУВ установлены непосредственно в Керченском проливе (рис. 1а).

Несмотря на столь высокие концентрации АУВ, состав алканов не соответствовал плавному распределению гомологов, характерному для неф-

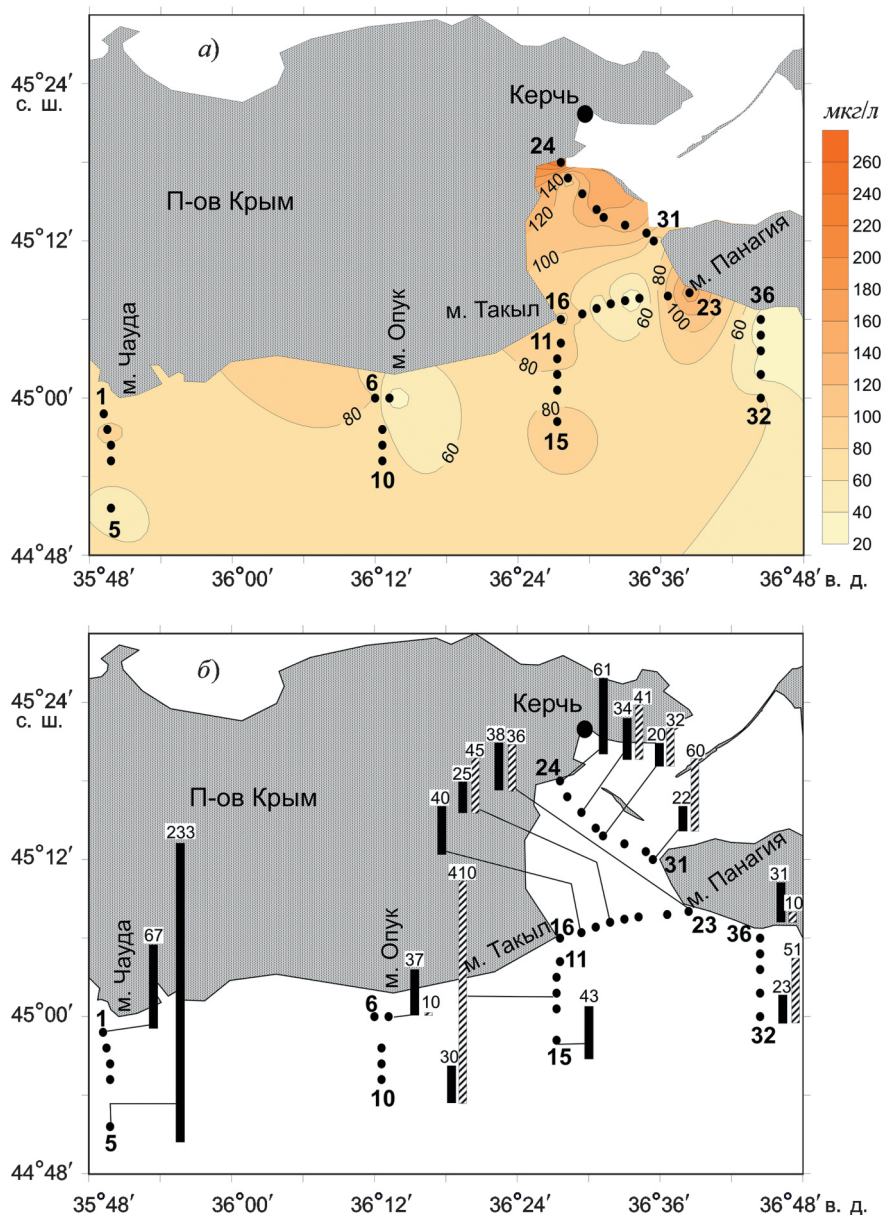


Рис. 1. Распределение концентрации алифатических углеводородов ($\mu\text{г}/\text{л}$) во взвеси поверхностных вод (а), концентраций алифатических ($\mu\text{г}/\text{л}$, над красными столбцами) и полициклических ароматических углеводородов ($\text{нг}/\text{г}$, над заштрихованными столбцами) в поверхностном слое донных осадков в июле 2020 г. (б).

Точки — гидрологические станции 1—36.

тических углеводородов (рис. 2а, б). В большинстве проб их распределение бимодально, что может указывать на смешанный генезис алканов. В низкомолекулярной области доминировали либо четные автохтонные алканы n-C_{16} , -C_{18} , -C_{22} (рис. 2а), возникающие при микробной трансформации АУВ, либо n-C_{17} , указывающий на включение алканов фито- и зоопланкто-

Таблица 1

**Концентрации органических соединений и взвеси в поверхностных водах
в разных районах Черного моря**

Год, месяц	АУВ, мкг/л		Липиды, мкг/л		Хл. "а", мкг/л		Взвесь, мг/л	
	интервал	среднее	интервал	среднее	интервал	среднее	интервал	среднее
Керченский пролив								
2019, IV	69—186	102	91—266	141	0,13—2,89	0,76	0,51—3,21	1,39
2019, IX	55—138	93	95—213	159	0,13—1,55	0,46	0,32—3,48	0,99
2020, VII	28—254	78	59—449	137	0,03—0,66	0,18	0,66—2,43	1,18
2021, VII	32—214	74	81—316	133	0,20—3,39	0,78	0,36—3,48	1,20
Феодосийский залив								
2015, V	14—90	35	32—213	83	0,03—0,28	0,12	0,44—2,38	1,2
2016, V	16—179	64	54—300	131	0,21—0,45	0,32	0,38—1,57	0,90
2016, IX	19—92	51	47—326	134	0,17—0,81	0,42	0,40—2,22	1,14
2017, V	11—29	18	59—125	87	0,13—0,26	0,20	0,28—1,10	0,66
Район Туапсе, устье р. Псезуасте								
2018, V	29—288	99	16—32	26	0,18—0,27	0,24	0,46—1,86	0,76
Район Туапсе, устье р. Туапсе								
2018, VI	39—1136	241	19—275	76	0,32—6,41	1,91	0,65—16,2	3,69
Прибрежная акватория Крымского п-ова								
2018, XII	16—51	32	53—113	78	Не определяли		0,16—0,62	0,30
Большой Сочи								
2013, V	19—238	58	58—743	185	0,14—0,37	0,27	1,38—31,57	8,07
2014, V	4—675	49	9—876	120	0,25—2,46	1,05	1,16—8,69	3,16
2015, VI	14—33	24	28—119	63	0,06—0,54	0,19	2,1—73,5	23,6
Центральная часть Черного моря								
2015, IX	9—21	14	24—47	37	0,01—0,22	0,14	0,24—0,38	0,28

на [23, 27, 32, 35]. Низкомолекулярные автохтонные гомологи доминировали только на станциях 23 и 24, а среднее значение отношения $L/H = (C_{9-24}) / (C_{25-35})$ составило 0,76. При этом фитан, имеющий преимущественно нефтяное происхождение [23, 32, 35], преобладал над пристаном только в отдельных пробах непосредственно в Керченском проливе. Вместе с тем низкие значения коэффициента изопреноидности $K_i = (i-C_{19} + i-C_{20}) / (C_{17} + C_{18})$ — в среднем 0,31 — указывали на слабую трансформацию н-алканов. В высокомолекулярной области преобладала серия нечетных гомологов (н- C_{25} — C_{33}). Довольно низкие значения CPI (отношение нечетных к четным гомологам в высокомолекулярной области) — 0,86—2,29 — типичны для фильтрационных взвесей [10, 30].

Суммарные концентрации ПАУ, определенные флуоресцентным методом, в поверхностных водах в 2020 г. изменились от 0,10 мкг/л (станция 6) до 0,55 мкг/л (станция 25), т. е. их содержание было значительно ниже концентраций АУВ, несмотря на то что этим методом определяют все флуоресцирующие в этих условиях соединения. Полициклические ароматические углеводороды в меньшей степени распространены в природе, и в нефти их содержание, как правило, также ниже, чем АУВ [21, 22]. Они бо-

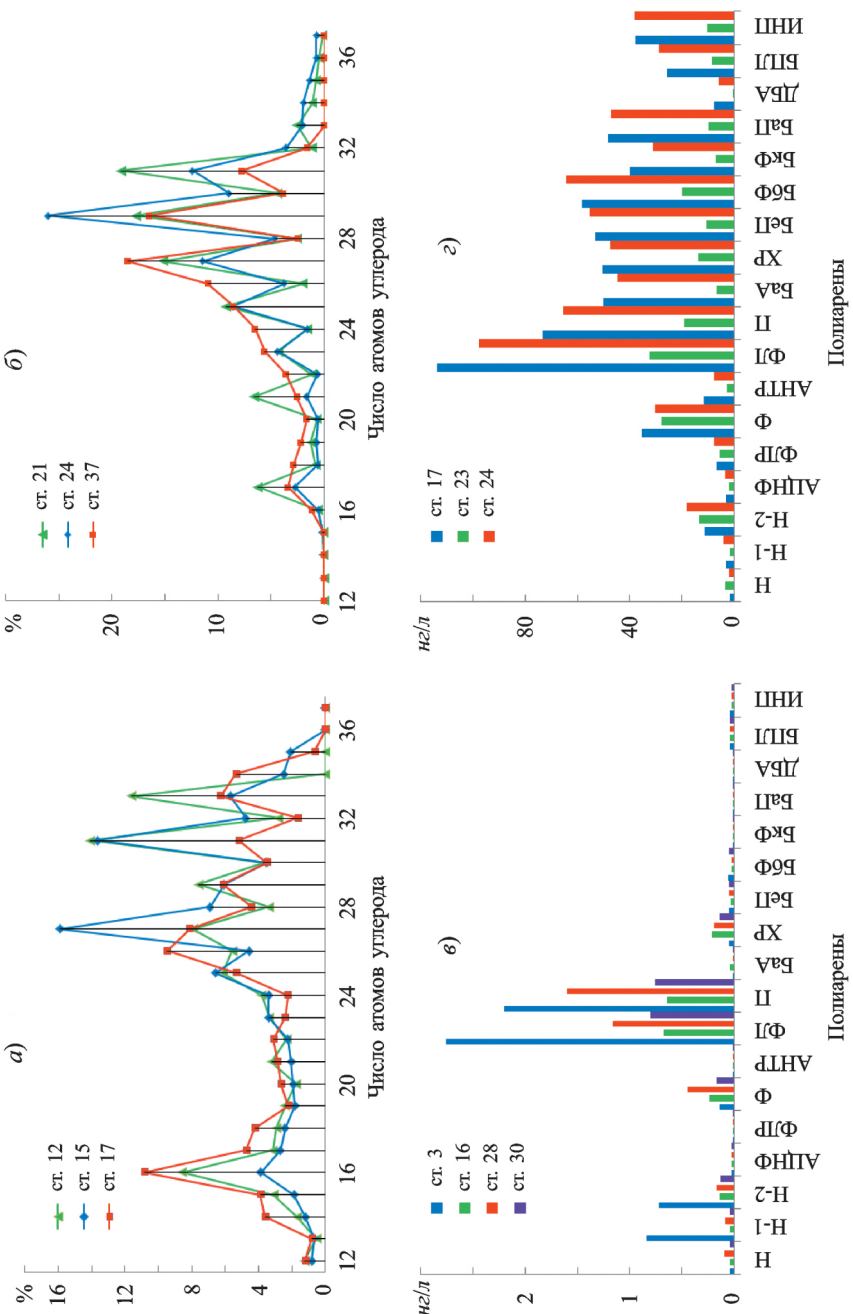


Рис. 2. Состав алканов (а, д) и полициклических ароматических углеводородов (е, з) во взвеси поверхностных вод (а, е) и в поверхностном слое донных осадков (д, з) на отдельных станциях в июле 2020 г.

лее устойчивы к разложению по сравнению с другими углеводородными классами.

Несмотря на различные источники поступления УВ распределение суммарных концентраций АУВ и ПАУ в основных чертах совпадало (основной источник ПАУ — продукты сгорания топлива и нефтяное загрязнение, а АУВ — биосинтез планктонными организмами и нефтяное загрязнение). Тем не менее не наблюдалось значимой корреляции между их распределением: коэффициент корреляции $r = 0,33$ (количество проб $n = 25$) при значимости $P = 0,95$.

Содержание ПАУ, определенное в отдельных пробах методом высокоеффективной жидкостной хроматографии, во взвеси поверхностных вод колебалось в интервале 5—17 $\text{нг}/\text{л}$. В их составе доминировали флуорантен и пирен (рис. 2б), которые образуются в высокотемпературных процессах горения. Отношение ФЛ/(ФЛ + П) изменялось на разных участках Керченского пролива в сравнительно узком интервале: 0,57—0,63, что присуще свежему загрязнению, так как в пробах трансформированных ПАУ концентрации флуорантена значительно выше, чем пирена [10, 18]. Низкие значения отношения нафталинов/Ф (0,05—0,11) могут указывать на незначительное включение нефтяных полиаренов.

Донные осадки Керченского пролива представлены в основном крупнозернистыми отложениями. Прибрежная, довольно узкая мелководная полоса дна пролива сложена песками, которые распространяются до глубин 3—5 м. Поэтому содержание C_{org} было низким, изменялось в интервале 0,02—1,43% и в среднем составляло 0,45% (табл. 2). От съемки к съемке состав поверхностного слоя осадков различался мало. Несмотря на это,

Таблица 2

**Содержание органических соединений в поверхностном слое
донных осадков**

Год, месяц	<i>n</i>	Алифатические УВ, $\text{мкг}/\text{л}$		$C_{\text{org}}, \%$		Алифатические УВ, %	
		интервал	среднее	интервал	среднее	интервал	среднее
Керченский пролив							
2019, IV	17	1—50	21	0,02—1,34	0,49	0,35—4,25	0,90
2019, IX	11	16—63	38	0,12—1,43	0,63	0,33—2,44	0,80
2020, VII	20	12—233	47	0,08—0,68	0,34	0,40—9,38	1,93
Феодосийский залив							
2015, V	9	17—80	33	0,39—1,16	0,88	0,17—0,73	0,35
2016, V	16	3—95	35	0,18—1,30	0,92	0,11—0,63	0,31
2017, V	18	9—31	26	0,42—1,22	0,73	0,14—0,50	0,30
Прибрежная акватория Крымского п-ова							
2017, XII	5	36—64	47	1,10—4,40	3,10	0,09—0,28	0,17
2018, XII	10	27—147	56	0,23—2,06	0,23	0,17—1,07	0,45
Район Туапсе							
2018, V—VI	10	5—358	71	0,30—14,21	3,00	0,08—0,37	0,18

Примечание. *n* — количество проб.

среднее содержание C_{opr} в июле 2020 г. было в 1,8 раз ниже (0,34%), чем в сентябре 2019 г. (0,63%), а АУВ, наоборот, — в 2,2 раза выше (47 мкг/г), чем в апреле 2019 г. (21 мкг/г).

Гранулометрический тип осадков оказывает значительное влияние на концентрации органических соединений [10]. Наблюдалась связь в распределении C_{opr} и влажности осадков, зависящей от их состава, а коэффициенты корреляции для разных сезонов в поверхностном слое изменялись от 0,68 (июль 2020 г.) до 0,87 (сентябрь 2019 г.).

Концентрации АУВ в 2020 г. колебались от 12 до 233 мкг/г сухого веса (рис. 1б) с максимумом в илах у м. Чауда, где установлено наиболее высокое содержание за весь период наблюдения. Прямые измерения скорости течений, а также геострофические оценки указывают на существование струйного вдольберегового течения западного направления, переносящего азовоморские воды в сторону Феодосийского залива [4]. Последнее способствует аккумулированию АУВ в районе м. Чауда и их поступлению в донные осадки в процессе седimentации.

В составе C_{opr} наиболее высокая доля АУВ приурочена к осадкам в июле 2020 г. — в среднем 1,93% (табл. 2). На станциях 11, 17 и 15 в северной части полигона и непосредственно в Керченском проливе их доля в составе C_{opr} превышала 1%, что характерно для осадков, загрязненных нефтяными углеводородами [10]. Для сравнения, относительное содержание АУВ в составе C_{opr} в осадках Феодосийского залива и в устьевых участках рек вблизи Туапсе (Туапсе, Псезеапстя и Шахе) было значительно меньше — в среднем 0,32 и 0,18% соответственно (табл. 2).

В меньшей степени (по сравнению с АУВ) изменялось содержание в донных осадках ПАУ: в 2020 г. 150—600 нг/г, в 4 раза (метод ВЭЖХ, рис. 1б). При этом отсутствовала связь в распределении АУВ и ПАУ ($r = -0,20$, $n = 12$). Гранулометрический тип осадка в меньшей степени влиял на состав ПАУ, так как максимальное их содержание установлено на станции 31 в песчанистом осадке с ракушью при влажности 16,5%.

Состав алканов донных осадков отличался от их состава во взвеси. В низкомолекулярной области выделялся только гомолог фитопланктона н- C_{17} , но его концентрации были значительно меньше, чем во взвеси (рис. 2б).

При этом содержание н- C_{16} понижено по сравнению с н- C_{17} , что может указывать на меньшую роль микробиальных процессов по сравнению со взвесью при формировании осадков УВ. В высокомолекулярной области алканов доминировали нечетные гомологи н- C_{25} — C_{31} . В процессе седimentации происходит разложение низкомолекулярных алканов. Поэтому отношение L/H в донных осадках меньше (0,08—0,54), а значения CPI, наоборот, больше (1,36—4,99), чем во взвеси (0,33—1,43 и 0,86—2,29 соответственно).

Состав ПАУ в донных осадках акватории Керченского пролива был более разнообразным по сравнению с взвесью (рис. 2г). Последнее обусловлено их большими концентрациями в осадках. Повышенное содержание нафтилинов, маркирующих нефтяные УВ [21, 22], присущее также донным осадкам непосредственно в Керченском проливе (14,6—23,0%). Несколько меньше их концентрации у м. Чауда на станции 1 — 7,9—8,4% (в разные сезоны).

Несмотря на широкий диапазон концентраций суммы ПАУ, корреляционный анализ показал наличие тесных связей между отдельными полиаренами. Минимальную степень связи с суммой ПАУ демонстрируют нафталин и его гомологи — наиболее легкие, летучие и растворимые из идентифицированных УВ [15, 28].

Для имеющегося массива данных был проведен расчет индикаторных соотношений индивидуальных ПАУ, что позволило определить их происхождение. Большая часть маркеров указывала на пирогенное происхождение полиаренов во взвесях и донных осадках. Особенно явно это подтверждается соотношением ФЛ/(ФЛ + П), которое попадает в “пирогенный” интервал значений (<0,5, в среднем 0,2) [18, 35]. На пирогенный источник ПАУ также указывало отношение БаA/(БаA + ХР) — в среднем 0,6. Часть маркеров свидетельствует о смешанном происхождении полиаренов (пирогенное + петрогенное), а часть характеризует подверженность фотолизу, обусловленному загрязнением от судов, работающих при сжигании топлива.

Таким образом, исследования установили высокие концентрации АУВ во взвеси поверхностных вод с максимальными величинами непосредственно в Керченском проливе (рис. 1а). Согласно ежемесячному мониторингу с апреля по октябрь 2019 г. на четырех станциях между портами Крым и Кавказ [5] средняя концентрация АУВ в растворенной форме составила 49 мкг/л (1,0 ПДК), т. е. практически была в 2 раза меньше по сравнению с нашими данными (табл. 1). Обусловлено это тем, что в прибрежных акваториях, где много взвеси, такие гидрофобные соединения, как АУВ, содержатся преимущественно во взвешенной форме. Тем не менее, значения, превышающие ПДК в растворенной форме, были зафиксированы в 54 пробах (28% от 192 проб) во все месяцы наблюдений и были примерно одинаковыми в поверхностном и в придонном горизонтах [5].

Необходимо отметить, что концентрации взвеси в Керченском проливе были выше, чем в других районах исследуемой акватории. Так, в июле 2020 г. средние концентрации для различных фракций взвесей в Феодосийском заливе составили в мг/л: $C_{\text{БВ}} = 1,30$, $C_{\text{BMB}} = 1,10$, $C_{\text{БОВ}} = 0,16$, а в Керченском проливе эти величины составили: $C_{\text{БВ}} = 1,7$, $C_{\text{BMB}} = 1,5$, $C_{\text{БОВ}} = 0,21$ с максимумом на станции 24 соответственно $C_{\text{БВ}} = 2,43$, $C_{\text{BMB}} = 2,13$, $C_{\text{БОВ}} = 0,31$. Керченский пролив также характеризовался сезонными изменениями концентрации изучаемых соединений, за исключением двух прибрежных станций в юго-восточной части разреза (станции 30 и 31, рис. 1). Можно отметить относительное постоянство концентраций $C_{\text{БОВ}}$ на каждом из разрезов и несущественные различия между их средними величинами для разных сезонов.

Интенсивность бактериальной трансформации УВ увеличивается с повышением температуры воды [10, 23], поэтому в поверхностных водах в составе алканов наблюдалось увеличение доли четных низкомолекулярных гомологов. Ранее также было отмечено, что в водах Черного моря в составе алканов в низкомолекулярной области доминировали гомологи $n\text{-C}_{16}$, -C_{17} , -C_{18} , имеющие автохтонное происхождение [11, 12, 17].

В донных осадках концентрации АУВ также превышали фоновый уровень, который в песчанистых осадках составляет 10 мкг/г [5, 32]. Несмотр-

ря на столы высокие концентрации АУВ, трансформация нефтяных УВ в морской среде и на границе вода — дно приводит к радикальному изменению их первоначального химического состава. В основном эти процессы происходят за счет потери легких фракций и растворения [10, 12]. В результате состав алканов не соответствовал нефтяному.

В сравнительно мягких условиях образования сырой нефти формируются преимущественно алкил-замещенные низкомолекулярные арены, такие как нафталин и его гомологи. Их доля в июле 2020 г. на станции 28 достигла 23%, что может указывать на смешанный генезис полиаренов.

Особенности циркуляции вод в Керченском предпроливье и неоднородность поля скоростей в поперечном сечении пролива способствуют концентрированию большинства загрязняющих веществ не только в самом проливе, но и в западной части исследованного района у мысов Чауда и Такыл [4]. Изучение динамики движения водных масс в самом Керченском проливе показало классический тип водообмена между двумя бассейнами с разной плотностью вод. Здесь наблюдается разнонаправленный двухслойный поток, когда более легкая вода образует течение на поверхности, в то время как более тяжелая движется в противоположном направлении в придонном слое. В Керченском проливе такие ситуации тоже реализуются. Численное моделирование установило, что около 47% времени в году течение через пролив движется из Азовского в Черное море, а из Черного в Азовское море — около 41% времени в году, в 12% случаев западная и восточная части пролива заняты течениями противоположного знака.

В донных осадках концентрации АУВ и С_{опр} уменьшались в 2019 г. при переходе от окисленного к восстановленному слою, а содержание ПАУ, наоборот, увеличивалось в этих слоях. Последнее, видимо, определяется повышенной эмиссией полиаренов в 1950-е годы, вызванной сжиганием угля [15].

Необходимо отметить, что благодаря грубодисперсному составу осадков содержание ПАУ в акватории Керченского пролива было меньше, чем в других районах Черного моря. В частности, в илистых осадках румынского шельфа их концентрации (сумма 16 ПАУ) изменялись в интервале 141—6983 нг/г, а в Стамбульском проливе в Турции (сумма 8 ПАУ) — в интервале 0,4—1703 нг/г [31].

В силу своих структурных особенностей ПАУ наиболее репрезентативно отражают кинетику процессов вертикальной и горизонтальной миграции естественных и антропогенных потоков УВ [18, 24, 26, 35]. Индикаторные соотношения состава ПАУ, применяемые для выявления источников антропогенного загрязнения, указали на высокотемпературные процессы сжигания топлива [24], так как большинство проб указывают на пирогенный генезис ПАУ. Подтверждением этому может быть также распределение суммарной концентрации ПАУ. Наиболее высокие уровни загрязнения установлены на станциях с заиленными осадками: 5, 24 и 37 (рис. 1б). Основной источник загрязнения — поступление продуктов сгорания топлива при деятельности судов. Этот же вывод был сделан при исследовании черноморского шельфа Румынии [31], где соотношения маркеров в составе ПАУ донных осадков указали, что источник загрязнения — высокотемпературные пиролитические процессы. При этом донные осадки Чер-

номорского сектора Азии по данным 2011—2012 гг. классифицировали как загрязненные (17% проб) и сильно загрязненные (65%) [31].

Обнаружение нафтилина и его гомологов во всех пробах в составе ПАУ донных осадков было неожиданным, так как они не были установлены во взвеси. Очевидно, при небольших глубинах происходит концентрирование этих аренов, поступающих при эксплуатации судов в донные осадки. Частично петрогенный характер ПАУ в осадках Керченского пролива определен также на основе соотношений Ф/АН и АН/(АН + Ф).

Изучение гидрологии пролива показало, что характер течения через пролив мало зависит от речного стока в Азовское море и определяется прежде всего ветром [12]. Модельные расчеты с реальным форсингом за 1992—2017 гг. продемонстрировали, что в 47% случаев в проливе формируется одностороннее течение из Азовского моря в Черное, в 41% случаев — одностороннее — из Черного в Азовское, а в 12% случаев западная и восточная части пролива заняты течениями противоположного знака. Также установлено, что загрязнения из района Керченского пролива могут вовлекаться в Основное Черноморское течение и переноситься по всему круговороту на временных масштабах 5—7 месяцев.

Выводы

Воды и осадки акватории Керченского пролива отличаются высокими концентрациями АУВ, превышающими ПДК для нефтяных углеводородов (50 мкг/л). Из-за быстрой трансформации состав алканов не соответствует нефтяному. Причем в самом проливе их концентрации были выше (в пересчете на литр и в составе липидов) по сравнению с другими станциями полигона. Поступление загрязняющих веществ в морскую среду повышает содержание АУВ в воде и донных осадках, создавая современный углеводородный фон.

Загрязняющие вещества в большей степени оказывают влияние на состав более устойчивого углеводородного класса — ПАУ. Невысокие концентрации ПАУ в воде ($5—9 \text{ нг/л}$) и в донных осадках ($1—728 \text{ нг/г}$, метод ВЭЖХ) обусловлены как схемой течений, так и грубоисперсным составом отложений Керченского пролива.

Согласно составу ПАУ в пробах донных отложений в акватории Керченского пролива загрязнение оценивается как смешанное с доминированием пирогенного, в меньшей степени — как нефтяное, подвергшееся влиянию процессов трансформации. Наиболее вероятный источник загрязнений — поступление углеводородов от сжигания судового топлива.

Исследования проведены при поддержке Минобрнауки России в рамках Соглашения 075-15-2021-941 и государственного задания.

Литература

- 1. Воробьев В. Л., Акимов В. А., Соколов Ю. И.** Предупреждение и ликвидация аварийных разливов нефти и нефтепродуктов. — М., Ин-октаво, 2005, 368 с.
- 2. Еремеев В. Н., Иванов В. А., Ильин Ю. П.** Океанологические условия и экологические проблемы Керченского пролива. — Морской экологический журнал, 2003, т. 2, № 3, с. 27—39.
- 3. Иванов А. Ю., Кучейко А. А., Филимонова Н. А., Кучейко А. Ю., Евтушенко Н. В., Терлеева Н. В., Ускова А. А.** Пространственно-временное распределение пленочных загрязнений в Черном и Каспийском морях по данным космической радиолокации: сравнительный анализ. — Исследование Земли из космоса, 2017, № 2, с. 13—25.
- 4. Ижицкий А. С., Завьялов П. О.** Гидрофизическое состояние вод Феодосийского залива в мае 2015 г. — Океанология, 2017, т. 57, № 4, с. 538—545.
- 5. Качество морских вод по гидрохимическим показателям.** Ежегодник 2019. /Под ред. А. Н. Коршенко. — М., Наука, 2020, 281 с.
- 6. Коновалов Б. В., Кравчишина М. Д., Беляев Н. А., Новигатский А. Н.** Определение концентрации минеральной взвеси и взвешенного органического вещества по их спектральному поглощению. — Океанология, 2014, т. 54, № 4, с. 704—711.
- 7. Лаврова О. Ю., Митягина М. И., Костяной А. Г.** Спутниковые методы выявления и мониторинга зон экологического риска морских акваторий. — М.: ИИ РАН, 334 с.
- 8. Ломакин П. Д., Спиридонова Е. О.** Природные и антропогенные изменения в полях важнейших абиотических элементов экологического комплекса Керченского пролива в течение двух последних десятилетий. — Севастополь, ЭКОСИГ, Гидрофизика, 2010, 118 с.
- 9. Матишов Г. Г., Инжебейкин Ю. И., Савицкий Р. М.** Воздействие на среду и биоту аварийного разлива нефтепродуктов в Керченском проливе в ноябре 2007 г. — Водные ресурсы, 2013, т. 40, № 3, с. 259—273.
- 10. Немировская И. А.** Нефть в океане (загрязнение и природные потоки). — М., Научн. мир, 2013, 432 с.
- 11. Немировская И. А., Завьялов П. О., Храмцова А. В.** Углеводороды в водах и донных осадках Керченского пролива. — Водные ресурсы, 2021, № 2, с. 263—272.
- 12. Немировская И. А., Онегина В. Д., Коновалов Б. В.** Углеводороды во взвеси и осадках различных районов российского сектора Черного моря. — Морской гидрофизический журнал, 2017, № 4, с. 48—60.
- 13. Овсянкий Е. И., Коновалов С. К., Митропольский А. Ю., Контельянец Е. А.** Органический углерод и карбонатность современных донных отложений Керченского пролива. — Геохимия, 2015, № 12, с. 1120—1131.
- 14. Патин С. А.** Нефть и экология континентального шельфа. — М., ВНИРО, 2017, т. 1, 327 с.
- 15. Ровинский Ф. Я., Теплицкая Т. А., Алексеева Т. А.** Фоновый мониторинг поликлинических ароматических углеводородов. — Л., Гидрометеоиздат, 1988, 224 с.
- 16. Справочники и руководства.** МОК/ВМО. — Париж, Юнеско, 1984, № 13, 34 с.
- 17. Темердашев З. А., Павленко Л. Ф., Корпакова И. Г., Ермакова Я. С., Экилик В. С.** Генезис углеводородов в воде и донных отложениях Азовского и Черного морей. — Экологическая химия, 2017, т. 26, № 2, с. 101—108.
- 18. Хаустов А. П., Редина М. М.** Геохимические маркеры на основе соотношений концентраций ПАУ в нефти и нефтезагрязненных объектах. — Геохимия, 2017, т. 55, № 1, с. 57—67.
- 19. Шнюков Е. Ф., Пасынков А. А., Любичкий А. А., Иноземцев Ю. И., Рыбак Е. Н., Кузнецов А. С.** Грязевые вулканы на Прикерченском участке шельфа и материкового склона Черного моря. — Геология и полезные ископаемые Мирового океана, 2010, № 3, с. 28—36.
- 20. Alberty R. A. and Reif A. K.** Standard chemical thermodynamic properties of polycyclic aromatic hydrocarbons and their isomer groups. I. Benzene series. — J. Phys Chem. Ref. Data, 1988, vol. 17, No. 1, pp. 241—253.

- 21.** AMAP (Arctic Monitoring and Assessment Programme). Chapter 4. Sources, Inputs and Concentrations of Petroleum Hydrocarbons, Polycyclic Aromatic Hydrocarbons, and Other Contaminants Related to Oil and Gas Activities in the Arctic. — Oslo, Norway, 2007.
- 22.** AMAP (Arctic Monitoring and Assessment Programme): Chemicals of Emerging Arctic Concern (2016). — Oslo, Norway, 2017, 353 p.
- 23.** Corner E. D. Pollution studies with marine plankton. Part 1. — Adv. Marine Biology, 1978, vol. 15, pp. 289—380.
- 24.** Kucuksezgin F., Pazi I. Gonul T., and Duman M. Distribution and sources of polycyclic aromatic hydrocarbons in Cilician Basin shelf sediments (NE Mediterranean). — Mar. Poll. Bull., 2013, No. 1—2, pp. 330—335.
- 25.** Monitoring of Hazardous Substances in the White Sea and Pechora Sea: Harmonisation with OSPAR's Coordinated Environmental Monitoring Programme (CEMP). — Tromso, Akvaplan-niva, 2011, 71 p.
- 26.** Morales-Coselles C., Yunker M. B., and Ross P. S. Identification of spilled oil from the MV Marathassa (Vancouver, Canada 2015) using alkylPAH, isomer ratios. — Arch. Environ. Contam. Toxicol., 2017, No. 73, pp. 118—130.
- 27.** Nishumura M. and Baker E. W. Possible origin of n-alkanes with remarkable even-to-odd predominance in recent marine sediments. — Geochim. Cosmochim. Acta, 1986, vol. 50, No. 2, pp. 299—305.
- 28.** Parra Y. J., Oloyede O. O., Pereira G. M., de Almeida Lima P. H. A., da Silva Caumo S. E., Morenikeji O. A., and de Castro Vasconcellos P. Polycyclic aromatic hydrocarbons soils and sediments in Southwest Nigeria. — Environ. Poll., 2020, vol. 259, No. 4.
- 29.** Readman J. W., Fillmann G., Tolosa I., et al. Petroleum and PAH contamination of the Black Sea. — Mar. Pollut. Bull., 2002, vol. 44, No. 1, pp. 48—62.
- 30.** Saliot A., Goutx M., Fefrier A., et al. Organic sedimentation in the water column in the Arabian Sea: Relationship between the lipid composition of small and large-size, surface and deep particle. — Mar. Chem., 1982, vol. 11, No. 3, pp. 257—278.
- 31.** Tiganus M., Coatu V., Lazar L., Oros A., and Daiana A. Identification of the sources of polycyclic aromatic hydrocarbons in sediments from the Romanian Black Sea sector. — Cercetari Marine, vol. 43, pp. 187—196.
- 32.** Tolosa I., Mora S., Sheikholeslami M. R., Villeneuve J., Bartocci J., and Cattini C. Aliphatic and aromatic hydrocarbons in coastal Caspian Sea sediments. — Mar. Pol. Bull., 2004, vol. 48, pp. 44—60.
- 33.** Venkatesan M. J. and Kaplan I. R. Distribution and transport of hydrocarbons in surface sediments of the Alaskan outer continental shelf. — Geochim. Cosmochim. Acta, 1982, vol. 46, pp. 2135—2149.
- 34.** Wakeham S. G. Aliphatic and polycyclic aromatic hydrocarbons in Black Sea. — Mar. Chem., 1996, vol. 53, No. 2, pp. 187—205.
- 35.** Yunker M. B., Macdonald R. W., Ross P. S., Sophia C. Johannessen B., and Neil D. Alkane and PAH provenance and potential bioavailability in coastal marine sediments subject to a gradient of anthropogenic sources in British Columbia, Canada. — Org. Geochem., 2015, vol. 89—90, pp. 80—116.